

徳島大学工業短期大学部 正会員 村上 仁士
 同 工 正会員 細井 由彦
 四国建設コンサルタント 正会員・富永 伸也

1. 主なべき: 水理模型を用いて湾や内海の拡散現象を予測する方法は現在広く行なわれているが、模型の縮率効果に関しては明らかにされていづらい点が多い。そこで本研究では、水平的に比較的広く、水深は浅く、半日周期流が卓越するような閉鎖性内湾を対象とし、地形性の残差流が物質の拡散に支配的であるような単純長方形湾モデルを用いて、湾内における流況・拡散現象に対する模型歪および水平縮尺の影響を、熱膜流速計より得られた流速データに基づき詳細に把握しようとするものである。

2. 実験方法: 長さ365cm、幅82cm、深さ30cmのペイント仕上げの実験水槽中に図-1に示すような湾口が片寄った長方形湾を設け、Froude則に基づいて歪率 α および水平縮尺 xR の異なる表-1のような3種のモデルを設定し、各ケースについての表層のEuler的流速測定実験を行なつた。測定点は図-1に示す14点であり、各点で1周期間の流速がX方向およびY方向に分けて測定された。

3. 流速特性: 測定された流速を一周期平均することにより求めた恒流と模型換算測定点別ベクトル表示したものを図-2に示す。図より恒流は3ケースとも湾口周辺で強く現れ、特にA点およびB点ではそれぞれ $41.26 \sim 30 \text{ cm/sec}$ 、 $22 \sim 30 \text{ cm/sec}$ ほどの値を示している。またCase 2のみ測定した(2)点、(3)点でも大きな値を示したことから、不実験で対象とした内湾にはA点より左側の湾口部から(2)点あたりまで地形性の強い偏流が存在していると考えられる。

さらに、C、D、H点では、偏流の影響を受けるC点で大きく湾奥のD点より小さい値となり、いる。これらの3点は、昨年の海講で報告した流況図より環流域にあることが明らかであるが、Case 2について測定した(3)～(8)および(11)点の結果も含めて考えると、湾内の所蔵図の環流分布とほとんど同じ強さで流れていることがわかる。また、E、F点の結果より湾中心および湾脚の流れは非常に小さいことがわかつた。つきに、各ケースごとの恒流を比較すると、湾口部のA、B点では歪率が大きくなると恒流が過小になると同一歪の場合は水平縮尺が小さくなると過大に現われた。この原因としては、湾口での流速分布や乱れ現象の違いなどが考えられる。また、湾奥のD点でもケースごとに差異が見られるが、これはおもに還流の大きさの違いによるとと思われる。これまで対して、還流域のC、H点でもケースごとにあまり差がないことがわかる。そこで図-1

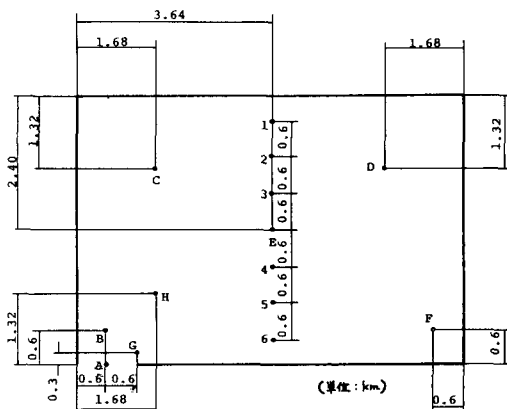


図-1 湾模型と流速測定点

表-1 設定したモデルの縮尺および歪率

| | 水平縮尺 xR | 鉛直縮尺 hR | 歪率 α/xR |
|--------|-----------|-----------|----------------|
| Case 1 | 1/4000 | 1/400 | 10 |
| Case 2 | 1/4000 | 1/200 | 20 |
| Case 3 | 1/7000 | 1/350 | 20 |

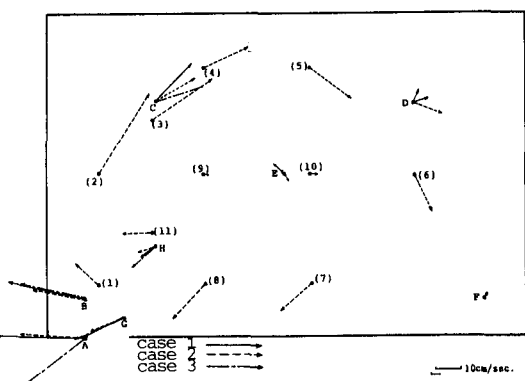


図-2 恒流図

の測点1～6を横断面のX方向の流速を測定し、各位相においてケースごとの比較を行い、その一例を図-3に示したが、これより各ケースごとの歪率および水平縮尺を変えても流れは、ほぼ相似さると考えられる。また、B, E, D, H点における流速のX成分、Y成分のデータに基づき各方向の自己相關係数を算出した結果、B, H点では異方性の乱れの場を形成しているものの、歪率および水平縮尺の変化に伴う自己相關分布形の違いは認められなかつた。しかし、D, E点についての自己相關分布について、各ケースごとに違いが見られた。これは昨年の流況実験からも明らかのように、歪率、水平縮尺の変化に伴い、遷流中心および遷流の大きさがわざわざ変ってくることが主な原因と考えられる。

4. 拡散特性：オイラー的流速データから拡散係数を求める方法としては、和田らの方法があるが、これによれば、B, D, E, H点について算出した結果が、表-2である。算出した拡散係数を見ると、各ケース、各測点とも K_x と K_y の値が異なっており、各測点での拡散特性に異方性がみられる。さらにその値は、流れの速い

表-2 拡散係数 ($\text{cm}^2/\text{sec.}$)

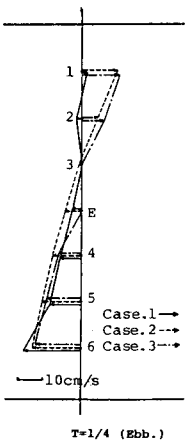
湾口付近のB点で最も大きく、流れの遅い、湾奥のD点や遷流中心のE点では小さくなっている。そこで、恒流と拡散係数との関係を示したもののが、図-4である。この図より、バラツキはあるものの恒流と拡散係数との間には比例関係が見られ、恒流が大きくなるにつれて拡散現象も過大化することがわかつた。また、求めた拡散係数のオーダーを見ると $10^4 \sim 10^5 (\text{cm}^2/\text{sec})$ の範囲にあり、半日周期流の卓越する閉鎖性内湾の拡散係数としては、適当なオーダーが得られた。つぎに、各ケースごとに拡散係数を比較すると、一部を除いて、歪率の増大に伴い、拡散現象は過小化する。したがって、歪率の大きい場合には、水平縮尺の小さい方が、拡散現象は過大化現れる傾向が見られた。このように現象は、昨年同一モデルで行なった染料投入実験データをもとに、足立らの方法で解析し、Ozmidovの理論により求めた表-1の拡散パラメータについても共通して見られた。これは、既述のようく恒流が拡散現象に支配的であることを考え合わせると、歪率が増大すると恒流が小さく現われ、そのため拡散現象も過小化する。また、同じ歪率の場合には、水平縮尺を小さくすると恒流が大きくなり、したがって、拡散現象も過大化するものと考えられる。さらに、こうした現象は、B点において、顕著にみられることがから、とくに、湾口周辺において、著しく現われるものと思われる。

5. あとがき：今回の実験により、Euler的流速を把握し、その流速データをもとに、湾内の流況および拡散特性に対する模型歪の影響について調べることができた。さらに、詳細については、とくに、湾口周辺部の乱れの評価を行なう必要があると思われる。

最後に、今回の研究を行なうにあたり、実験および資料整

理に快く御協力いただいた玉川康弘(徳島大学)・平野俊秀(不動建設K.K.)両氏に対し、深く感謝の意を表す。

参考文献 1) 不才仁士ほか：渦流拡散実験における模型歪の影響に関する考察、第28回海岸工学講演会論文集(1981)



T=1/4 (Ebb.)

| 測点 | Case | Case 1 | Case 2 | Case 3 |
|----|-------|---------------------|---------------------|---------------------|
| B | K_x | 1.316×10^5 | 0.975×10^5 | 1.038×10^5 |
| | K_y | 3.041×10^5 | 2.066×10^5 | 2.521×10^5 |
| D | K_x | 6.923×10^4 | 3.079×10^4 | 2.221×10^4 |
| | K_y | 1.932×10^4 | 3.324×10^4 | 5.938×10^4 |
| E | K_x | 1.298×10^4 | 0.799×10^4 | 0.905×10^4 |
| | K_y | 0.401×10^4 | 0.949×10^4 | 1.422×10^4 |
| H | K_x | 8.858×10^4 | 7.262×10^4 | 9.359×10^4 |
| | K_y | 7.172×10^4 | 5.560×10^4 | 8.523×10^4 |

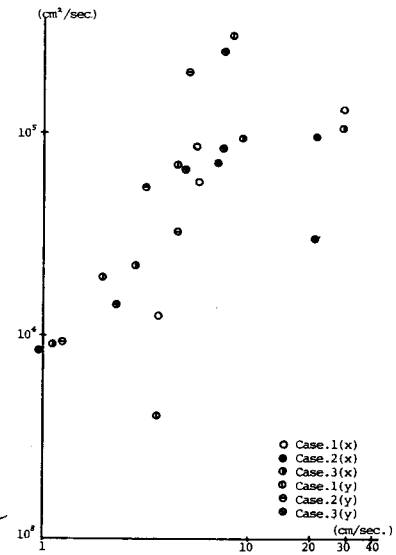


図-4 恒流と拡散係数の関係

表-3 Ozmidovの解に基づく拡散パラメータ

| 染料投入点 | H | E | D |
|--------|--------|--------|--------|
| Case 1 | — | 0.0256 | 0.0265 |
| Case 2 | 0.0329 | 0.0243 | 0.0265 |
| Case 3 | 0.0668 | 0.0303 | 0.0368 |